

## АННИГИЛИЯ ПОЗИТРОНОВ В РАЗУПОРЯДОЧЕННЫХ ОБЛАСТЯХ Ge И Si, ОБЛУЧЕННЫХ НЕЙТРОНАМИ

Пустовойт А. К., Коноплева Р. Ф., Купчишин А. И.,  
Мукашев К. М.

С помощью метода углового распределения аннигиляционных фотонов (УРАФ) исследованы образование и отжиг радиационных дефектов в Ge и Si, облученных реакторными нейтронами, в зависимости от типа проводимости и уровня легирования. Характер отжига свидетельствует об аннигилиации позитронов на многовакансационных комплексах, находящихся внутри разупорядоченных областей (РО). Для *n*-Ge обнаружен сдвиг дозовых зависимостей радиационной компоненты УРАФ с изменением уровня легирования. Характер сдвига и его величина могут быть объяснены затягиванием позитрона внутрь РО полем контактной разности потенциалов с учетом диффузии и рекомбинации в матрице. Определены макроскопические сечения образования РО:  $3.4 \cdot 10^{-3}$ ,  $4.2 \cdot 10^{-2}$  и  $7 \cdot 10^{-1} \text{ см}^{-1}$  для *n*-Ge, *p*-Ge и Si соответственно, а также параметры РО в Ge и Si. Предполагается, что различия в сечениях образования и параметрах РО связаны с разными условиями «застывания» РО в Ge и Si.

В данной работе для исследования РО в Ge и Si использовался метод электронно-позитронной аннигиляции (ЭПА). В отличие от других работ по изучению этим методом дефектов в полупроводниках основное внимание уделялось выявлению специфики, вносимой РО как включением другой фазы.

Согласно модели, предложенной Госсиком [1] и развитой в ряде работ [2, 3], РО представляет собой включение, аналогичное по своим свойствам предельному состоянию материала при больших дозах облучения: в Ge — это близкий к вырождению *p*-тип, в Si — материал, по проводимости близкий к собственному.

Можно было предполагать, что затягивание позитрона внутрь РО полем контактной разности потенциалов приведет к большим сечениям захвата позитрона в *n*-материале по сравнению с материалом *p*-типа. Такой эффект мог бы служить подтверждением модели РО и помог бы связать динамику ЭПА с параметрами РО.

*Методика и результаты эксперимента.* Использовалась методика углового распределения аннигиляционных фотонов (УРАФ) [4]. В качестве источника позитронов использовался  $^{22}\text{Na}$  активностью  $\sim 8 \text{ мКюри}$ . Измерительная установка обеспечивала угловое разрешение  $\sim 1$  мрад и отношение скоростей счета сигнал/фон в области максимума углового распределения 200 [5]. Образцы Ge и Si (Ge — тянутый, Si — как тянутый, так и зонный) *n*- и *p*-типа с различными удельными сопротивлениями представляли собой шайбы диаметром 20 мм и толщиной 1 мм, вырезанные в плоскости  $\langle 111 \rangle$ . Облучение быстрыми нейтронами осуществлялось в реакторе ВВР-М в интервале доз  $\Phi = 10^{14} \div 3 \cdot 10^{18} \text{ см}^{-2}$ . Отжиг проводился в самой измерительной установке в атмосфере Ar с шагом 30 °C для Ge и 50–100 °C для Si. Длительность интервала составляла 15 мин.

В материале, содержащем дефекты, в спектре УРАФ, как известно, [4] появляется узкая компонента (УК), связанная с аннигиляцией позитронов, локализованных на дефектах вакансационного типа. В нормированном спектре УРАФ это приводит к увеличению амплитуды параболической части спектра *I*

на величину  $\Delta I = I - I_0$  ( $I_0$  — амплитуда для бездефектного материала), связанную со скоростью захвата позитронов дефектами  $k = \gamma N$  [6]:

$$\frac{\Delta I}{\Delta I_\infty} = \frac{k\tau}{1 + k\tau}, \quad (1)$$

где  $\Delta I_\infty$  — асимптотическое значение  $\Delta I$  при  $k \rightarrow \infty$ ,  $\tau$  — время жизни позитрона в бездефектном материале,  $\gamma$  — коэффициент захвата,  $N$  — концентрация дефектов.

Измеренные нами спектры УРАФ в исходных и облученных образцах обрабатывались на ЭВМ для выделения параболической части и определения  $\Delta I$  и  $\Delta I_\infty$ . Зависимость УК от флюенса быстрых нейтронов при разной степени легирования дана на рис. 1, а (для Ge) и 1, б (для Si).

В случае  $n$ -Ge при уменьшении концентрации легирующей примеси  $N_2$  криевые сдвигаются в область меньших доз, что соответствует, согласно (1), увеличению  $\gamma$ . Учитывая, что в  $n$ -Ge РО должны представлять собой ловушки для позитронов, а сечение захвата будет определяться внешними размерами об-

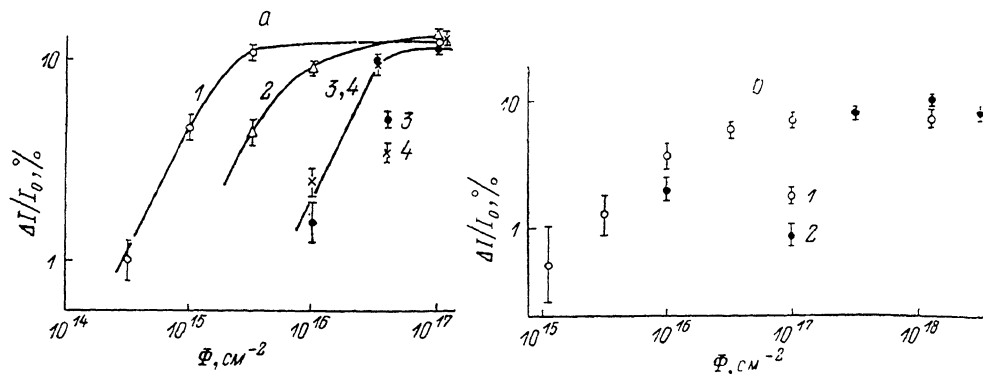


Рис. 1. Дозовые зависимости радиационной компоненты УРАФ.

а — Ge; легирующая примесь: 1—3 — Sb, 4 — Ga; удельное сопротивление, Ом·см: 1 — 1, 2 — 0.1, 3 — 0.005, 4 — 0.01; б — Si; 1 — n-тип (5-400 Ом·см), 2 — p-тип (4-16 Ом·см).

ласти пространственного заряда (ОПЗ) вокруг РО, наблюдаемый сдвиг можно объяснить увеличением размера ОПЗ с уменьшением  $N_2$ .

В случае Si с разными уровнями и типами легирования не наблюдается существенного сдвига дозовых зависимостей УК (рис. 1, б). Это связано, по-видимому, с тем, что электрическое поле РО сильно ослаблено вследствие низкой величины барьера между матрицей и ядром РО [2]. Причиной понижения барьера может быть полное обеднение ядра РО, когда длина экранирования превышает радиус ядра. В следующем разделе будет показано, что для РО в Si действительно реализуются такие условия.

Подтверждение того, что УК УРАФ связана с дефектами в РО, а не в матрице, а также определенные сведения о природе позитроночувствительных дефектов в Ge и Si дает изучение отжига УК. Результаты изотермического отжига УК в Ge и Si представлены на рис. 2, а и б соответственно. Как видно из рисунка, температура отжига УК ( $300 \div 400$  °C для Ge и  $600 \div 700$  °C для Si) существенно превышает температуры отжига всех известных изолированных точечных дефектов (ТД) [3, 7, 8]. Согласно электронно-микроскопическим исследованиям, в Si в области  $600 \div 700$  °C отжигаются РО вакансационного типа, но остаются РО межузельного типа [9]. Это дает основание полагать, что УК УРАФ связана с аннигиляцией в РО вакансационного типа. Что касается типа ТД внутри РО, ответственных за УК, то в соответствии с высокой температурой отжига следует заключить, что это — многовакансационные комплексы  $V_n$  ( $n > 4$ ).

Из рис. 2 видно также, что полному отжигу УК предшествует «отрицательный отжиг» при  $T = 100 \div 200$  °C для Ge и  $100 \div 300$  °C для Si. Такой сложный характер и высокая температура полного отжига характерны для материала, содержащего повреждения типа РО [2]. Отрицательный отжиг УК УРАФ свя-

зан с образованием поливакансационных комплексов, в результате чего происходит сужение спектра УРАФ и соответственно увеличение  $\Delta I$  при его нормировке.

Из кривых, приведенных на рис. 2, видно, что увеличение УК при отжиге выражено сильнее в материале *n*-типа при достаточно высоком уровне легирования ( $N_2 \geq 10^{15} \text{ см}^{-3}$ ). Такая закономерность указывает на то, что при образовании поливакансационных комплексов, по-видимому, существенную роль играют донорные примеси V группы. Поскольку  $N_2 \ll N_1$  ( $N_1$  — концентрация электрически активных дефектов в ядре РО), примесь V группы может играть роль не составной части стабильных комплексов, образующихся при этих температурах (100—250 °C), а катализатора, участвующего в промежуточной стадии реакции комплексообразования.

Это согласуется с результатами исследований ТД при  $\gamma$ -облучении, которые показывают, что в Ge образуются вакансационно-примесные комплексы с участием донора V группы, которые устойчивы до 150 °C,<sup>1</sup> тогда как комплексы с участием акцептора III группы устойчивы лишь до 100 K [8].

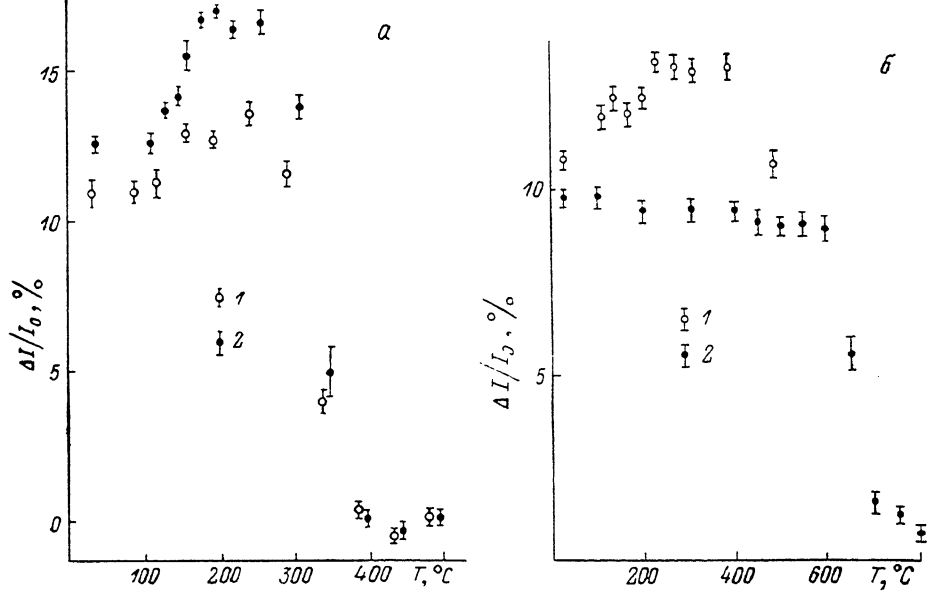


Рис. 2. Изотермический отжиг радиационной компоненты УРАФ.

*a* — Ge;  $\Phi = 10^{17} \text{ см}^{-2}$ ; 1 — *p*-тип (0.01 Ом·см), 2 — *n*-тип (0.1 Ом·см); *b* — Si; 1 — *n*-тип (5 Ом·см),  $\Phi = 1.5 \cdot 10^{18} \text{ см}^{-2}$ ; 2 — *p*-тип (4 кОм·см),  $\Phi = 2 \cdot 10^{17} \text{ см}^{-2}$ .

**Анализ результатов.** Дозовые зависимости УК, как видно из выражения (1), могут быть использованы для определения  $k$ , а следовательно, и одной из характеристик центров захвата ( $\gamma$  или  $N$ ),<sup>2</sup> если другая известна. В зависимости от соотношения между длиной пробега позитрона  $l = \langle v\tau \rangle \approx \bar{v}m_+/e\mu$  или длиной диффузии  $l_D = \sqrt{D\tau}$ , с одной стороны, и радиусом захвата  $R$  — с другой возможны три режима захвата позитрона, приводящих к разным выражениям для  $\gamma$  и к разному виду дозовой зависимости УК. Два из них — пролетный и диффузионный режимы — рассмотрены в [6]: при  $l \gg R$

$$\gamma = \pi R^2 \bar{v}, \quad (2)$$

при  $l \ll R < l_D$

$$\gamma = 4\pi R D, \quad (3)$$

где  $\bar{v} = (2k_B T/m_+)^{1/2} \approx 10^7 \text{ см/с}$  — тепловая (наиболее вероятная) скорость позитрона,  $D = \mu k_B T/e$  — коэффициент диффузии,  $\mu$  — подвижность,  $\tau$  — время жизни,  $m_+ \approx m_e$  [10] — эффективная масса.

<sup>1</sup> В данном случае легирующей примесью в Ge была Sb.

<sup>2</sup> Концентрация дефектов связана, в свою очередь, со скоростью введения их  $dN/d\Phi$ . При достаточно малых дозах эта связь линейна:  $N = \Phi dN/d\Phi$ .

Третий — режим неподвижного позитрона — осуществляется при  $l_D \ll R$ . В этом случае вероятность захвата определяется долей объема, занятого областями захвата,  $f$ . Нетрудно показать, что

$$df = V(1-f) dN, \quad (4)$$

где  $V=4\pi R^3/3$  — объем одной области захвата. Решая (4) и учитывая, что  $\Delta I/\Delta I_\infty=f$ , получим

$$\Delta I/\Delta I_\infty = 1 - \exp(-VN). \quad (5)$$

Рассмотрим применимость каждого из этих трех режимов. Подставляя значения параметров  $\mu=40$  [11] и  $6.4 \text{ см}^2/\text{В}\cdot\text{с}$  [12] для Ge и Si соответственно,  $\tau=2.4 \cdot 10^{-10} \text{ с}$  [12] в выражения для  $l$  и  $l_D$ , получаем  $l \approx 10^{-7}$ ,  $l_D \approx 1.5 \cdot 10^{-5} \text{ см}$ . Для точечных дефектов  $R \approx 10^{-8} \text{ см}$ , так что выполняется условие пролетного режима; для разупорядоченных областей, если пренебречь влиянием ОПЗ и использовать в качестве  $R$  размер ядра РО  $R_1 \approx 10^{-6} \text{ см}$  [2], выполняется условие диффузионного режима.

В том случае, когда влияние ОПЗ существенно (например, в  $n$ -Ge), необходимо рассмотреть дрейф и аннигиляцию позитронов в ОПЗ. Поскольку  $N_2 \ll N_1$ , то внешний радиус ОПЗ  $R_2 \gg R_1$ , поэтому можно рассматривать ОПЗ как сферически симметричную и получить достаточно простое выражение для электрического поля [1]. Проведенные нами вычисления показали, что при  $N_1/N_2 \gg 1$  и  $0.1 < l_0 < 1$  с точностью  $\sim 5\%$  для  $R_2$  можно использовать выражение

$$R_2 (\text{см}) \approx 250 \left( \frac{\epsilon \psi_0 (B) R_1 (\text{см})}{N_2 (\text{см}^{-3})} \right)^{1/3}, \quad (6)$$

где  $l_0 = (\epsilon \epsilon_0 \psi_0 / 2\pi e N_1 R_1^2)^{1/2}$  — параметр экранирования, а  $\psi_0 = E_c - k_B T \times \ln(N_c/N_2)$  — контактная разность потенциалов между  $n$ -матрицей и  $p$ -ядром РО ( $E_c$  — ширина запрещенной зоны,  $k_B$  — постоянная Больцмана,  $N_c$  — плотность состояний в зоне проводимости).

Аннигиляцию в ОПЗ можно учесть введением эффективного радиуса захвата  $R^* = \alpha R_2$ , где  $\alpha$  определяется из условия

$$\frac{4}{3} \pi (\alpha^3 R_2^3 - R_1^3) = \int_{R_1}^{R_2} \exp\left(-\frac{t_{\text{ap}}}{\tau}\right) 4\pi R^2 dR. \quad (7)$$

Вычисляя  $t_{\text{ap}} = \int_{R_1}^R \frac{dr}{\mu E(r)}$  и учитывая, что  $R_1/R_2 \ll 1$ , получим

$$\alpha \approx \left(1 + \frac{\epsilon \epsilon_0}{e N_2 \mu \tau}\right)^{-1/3}. \quad (8)$$

Сравнивая  $R^*$  с  $l_D$ , можно видеть, что для слабо легированного  $n$ -Ge режим захвата является промежуточным между диффузионным и режимом неподвижного позитрона. В этом случае дозовую зависимость можно описать уравнением (5), модифицируя выражение для объема области захвата,

$$V = 4\pi (R^* + L^*)^3/3. \quad (9)$$

Здесь  $L^*$  — эффективная длина диффузионного сорбции, определяемая из условия<sup>3</sup>

$$\frac{4}{3} \pi [(R^* + L^*)^3 - R^*]^3 = \sqrt{\frac{\pi}{D}} \int_0^{R_2 - R^*} x (R^* + x)^2 \int_0^\infty t^{-3/2} \exp\left(-\frac{t}{\tau} - \frac{x^2}{4Dt}\right) dt dx, \quad (10)$$

<sup>3</sup> Для вычисления вероятности попадания в ОПЗ позитрона, находящегося на расстоянии  $x$  от границы ОПЗ, использовались результаты [13].

где  $R_3 = (3/4\pi N_3)^{1/3}$  — половина расстояния между РО,  $N_3$  — концентрация РО.

Воспользуемся результатами приведенного анализа для определения параметров РО.

1. *n*-Германний. Для слабо легированного материала (рис. 1, а, кривые 1, 2), используя (5) и (10) на начальном участке дозовой зависимости и учитывая, что  $N_3 = \Sigma_r \Phi$ , получим макроскопическое сечение образования РО

$$\Sigma_r = \left[ \frac{4\pi}{3} (\alpha R_2 + L^*)^3 \Phi \right]^{-1} \frac{\Delta I}{\Delta I_\infty}. \quad (11)$$

Для сильно легированного материала (кривая 3) применимо диффузионное приближение. Определяя  $k$  из (1), а  $\gamma$  из (3), получим

$$\Sigma_r = (4\pi D \cdot R_2 \Phi)^{-1} \frac{\Delta I}{\Delta I_\infty - \Delta I}, \quad (12)$$

где  $R_2$  определяется из (6).

Учитывая разную зависимость  $\Sigma_r$  ( $R_1$ ) в приведенных выражениях [ $R_1^{1/3}$  в (12) и близкую к  $R_1^{-1}$  в (11)], можно достаточно точно определить как  $\Sigma_r$ , так и  $R_1$ :

$$\Sigma_r = 3.7 \cdot 10^{-3} \text{ см}^{-1}, \quad R_1 = 4.5 \cdot 10^{-7} \text{ см}. \quad (13)$$

Используя эти величины, можно определить и другие параметры РО. Нетрудно видеть, что заряд РО (в единицах заряда электрона  $e$ )  $Z = (dn/d\Phi)/\Sigma_r$ , где  $dn/d\Phi$  — скорость удаления носителей,<sup>4</sup> а концентрация электрически активных дефектов в ядре РО (в предположении, что они однозарядны)  $N_1 = 3Z/4\pi (R_1^3 - R_0^3)$ , где  $R_0$  — радиус нейтральной части ядра РО.  $N_1$  ограничено двумя условиями: с одной стороны,  $N_1$  не должно превышать плотность смещений ( $\sim 10^{21} \text{ см}^{-3}$ ), с другой — должно быть достаточно высоким, чтобы экранировать поле контактной разности потенциалов ( $l_0 < 1$ ).<sup>5</sup>

При  $dn/d\Phi = 3.3 \text{ см}^{-1}$  [2] удается согласовать (13) с неравенствами  $N_1 < 5 \cdot 10^{20} \text{ см}^{-3}$  [3] и  $l_0 < 1$  лишь при условии, что доля РО в компенсации *n*-Ge при нейтронном облучении составляет  $0.2 \div 0.25$ :

$$(dn/d\Phi)_{\text{РО}} = (0.2 \div 0.25) dn/d\Phi. \quad (14)$$

При этом условии значения параметров, характеризующих РО в *n*-Ge, следующие:

$$\begin{aligned} \Sigma_r^n &= (3.5 \div 3.3) \cdot 10^{-3} \text{ см}^{-1}, \quad Z = 200 \div 160, \quad N_1 = (4.5 \div 2.6) \cdot 10^{20} \text{ см}^{-3}, \\ R_1 &= (5 \div 6) \cdot 10^{-7} \text{ см}, \quad R_0/R_1 = 0.5 \div 0.1. \end{aligned} \quad (15)$$

Условие (14) согласуется с малым сечением образования РО в *n*-Ge  $\Sigma_r^n \ll \Sigma_{\text{упр}}$ . Последнее означает, что основная часть РО «разбегается» (используя терминологию [14]), тогда как (14) означает, что разбежавшиеся РО образуют в матрице (согласно [8]) донорно-вакансационные комплексы, что и является основной причиной компенсации *n*-Ge при нейтронном облучении.<sup>6</sup> Сравнивая отношение доли «застывших» РО  $\Sigma_r^n/\Sigma_{\text{упр}} \approx 0.014$  с долей электрически активных дефектов в этих РО  $(\frac{dn}{d\Phi})_{\text{РО}}/(\frac{dn}{d\Phi}) \approx 0.2$ , можно сделать вывод, что лишь  $\sim 7\%$  дефектов из разбегающихся областей образуют комплексы с донорами, основная же часть их аннигилирует или уходит на стоки.<sup>7</sup>

2. *p*-Германний. Как видно из рис. 1, а, кривые для сильно легированного *n*- и *p*-Ge (кривые 3 и 4) почти совпадают, что кажется неожиданным. Действительно, в сильно легированном *p*-Ge уровень Ферми в матрице и ядре

<sup>4</sup> При этом предполагается, что компенсация *n*-материала при облучении почти полностью связана с РО.

<sup>5</sup> В противном случае происходит уменьшение  $\Phi_0$  в результате полного обеднения ядра РО, как это имеет место для Si.

<sup>6</sup> Такая трактовка подтверждается результатами детального исследования УРАФ в нейтронно-облученном Ge при малых дозах [15].

<sup>7</sup> Оценка доли дефектов, образующих комплексы в оболочке РО, зависит от числа вакансий, входящих в такой комплекс и в электрически активный дефект в ядре РО, а потому является лишь ориентировочной.

РО имеет одно значение ( $\phi_0 \approx 0$ ), а потому отсутствует ОПЗ. Из этого следует, что радиус захвата в  $p$ -Ge  $R \approx R_1$ , тогда как в  $n$ -Ge при  $N_2 = 1.5 \cdot 10^{18} \text{ см}^{-3}$   $R \approx R_2 \approx 7R_1$ . Совпадение дозовых зависимостей для сильно легированных  $n$ - и  $p$ -Ge означает в соответствии с (1), что  $\Sigma_r^n \ll \Sigma_r^p$ .

Учитывая, что скорость образования первичных РО (каскадов смещений) одинакова в  $n$ - и  $p$ -Ge и равна  $\Sigma_{\text{упр}}$ , а застывшие РО, согласно результатам отжига и спектрам УРАФ, однотипны в том и другом материалах; причину указанного различия в скорости образования стабильных РО следует искать в разных условиях разбегания РО в  $n$ - и  $p$ -Ge. В монографии [14] проанализирована эволюция РО, связанная с тепловым движением дефектов и получено условие застывания РО  $D_V/R_1^2 \leq \gamma r N_V$ , где  $D_V$  — коэффициент диффузии вакансий,  $N_V$  — их исходная концентрация,  $\gamma = 4\pi D_V r$  — коэффициент захвата при образовании дивакансии,  $r$  — радиус захвата.

В случае  $n$ -Ge необходимо учитывать не только диффузию, как это сделано в [14], но и дрейф заряженных дефектов в электрическом поле ОПЗ. Сравним характерные времена дрейфового ( $\tau_{\text{др}} = R_1/\mu_V E$ ) и диффузионного ( $\tau_{\text{диф}} = R_1^2/D_V$ ) разбегания. Определяя  $E$  из [1], получим  $\tau_{\text{др}}/\tau_{\text{диф}} \approx 3e\varepsilon_0 k_B T/e^2 N_1 R_1^2 = 6 \cdot 10^{-3}$ .

Таким образом, в  $n$ -Ge дрейфовое разбегание значительно эффективнее диффузионного, что объясняет приведенное выше неравенство  $\Sigma_r^n \ll \Sigma_r^p$  (в  $p$ -Ge механизм разбегания диффузионный).

Подставляя в (2)  $k$  из (1), а  $\gamma$  из (3) и учитывая, что  $N = N_3 = \Sigma_r \Phi$ , а  $R \approx R_1$ , получим для  $\Sigma_r^p$

$$\Sigma_r^p = (4\pi D_V R_1 \Phi)^{-1} \frac{\Delta I}{\Delta I_\infty - \Delta I} \cdot (16)$$

Используя определенный электронно-микроскопическим методом размер РО в  $p$ -Ge при облучении реакторными нейтронами  $R_1 \approx 30 \text{ \AA}$  [2], находим  $\Sigma_r^p = 4.2 \cdot 10^{-2} \text{ см}^{-1}$ .

3. Кремний. Используя вычисленную в [16] концентрацию электрически активных дефектов внутри РО в Si, облученном нейтронами,  $N_1 \approx 10^{20} \text{ см}^{-3}$ , можно определить размеры РО из условия  $4/3\pi R_1^3 N_1 = (dn/d\Phi)/\Sigma_r$ . Находя  $\Sigma_r R_1$  из (16) и используя значение  $dn/d\Phi \approx 2$  [3], получим  $R_1 \approx 4 \cdot 10^{-7} \text{ см}$ . Это значение  $R_1$  попадает в интервал размеров РО в Si, определенный электронно-микроскопическим методом  $R_1 = 10 \div 250 \text{ \AA}$  [2].

Подставляя полученное значение  $R_1$  в (16), находим  $\Sigma_r^n \approx \Sigma_r^p \approx 7 \cdot 10^{-2} \text{ см}^{-1}$ . При этом заряд РО в Si  $Z = (dn/d\Phi)/\Sigma_r \approx 30$ , что близко к результату [16]: 40 дивакансий в одном кластере.

Причиной слабого электрического поля, создаваемого РО в Si, как предполагалось выше, служит уменьшение барьера между матрицей и ядром РО в результате обеднения последнего. В этом случае  $\phi_0 = eR_1^2 N_1 / 2\varepsilon_0$  [2], что при подстановке приведенных значений  $R_1$  и  $N_1$  дает  $\phi_0 \approx 0.1 \text{ В}$ . Это близко к результатам, полученным другими методами:  $\phi_0 = 0.05 \div 0.07 \text{ В}$ .

**Выводы.** Сравнивая полученные значения параметров РО, можно видеть, что процесс образования стабильных РО идет по-разному в Ge и Si.

1. В Ge лишь небольшая часть каскадов смещений застывает, образуя стабильные РО (17 % для  $p$ -Ge и 1.4 % для  $n$ -Ge), тогда как в Si застывает около половины каскадов смещений. Различие условий застывания РО в Ge и Si может быть вызвано более эффективным связыванием дефектов в комплексы (в частности, вакансационные  $V_n$ ) в Si по сравнению с Ge.

2. Размеры РО в Ge и Si близки (50 и 30  $\text{\AA}$  в  $n$ - и  $p$ -Ge соответственно, 40  $\text{\AA}$  в Si), тогда как расчетные размеры каскада смещений в Ge в 3 раза меньше, чем в Si [2, 14], что определяется увеличением размеров РО в Ge за счет диффузии дефектов, образующих ядро РО.

3. Число дефектов вакансационного типа и их плотность в РО для Ge выше, чем для Si (200 и  $4 \cdot 10^{20} \text{ см}^{-3}$  для Ge, 30 и  $1 \cdot 10^{20} \text{ см}^{-3}$  для Si). Высокая плотность вакансационных дефектов внутри РО в Ge при высокой их подвижности (см. п. 1) означает, что аннигиляция их с межузельными дефектами затруднена. Возможно, это связано с вытеснением последних из области каскада смещений при формировании РО в Ge.

## Л и т е р а т у р а

- [1] Gossik B. R. // J. Appl. Phys. 1959. V. 30. N 8. P. 1214—1218.
- [2] Коноплева Р. Ф., Литвинов В. Л., Ухин Н. А. Особенности радиационного повреждения полупроводников частицами высоких энергий. М., 1971. 176 с.
- [3] Вопросы радиационной технологии полупроводников / Под ред. Л. С. Смирнова. Новосибирск, 1980. 292 с.
- [4] Triftschäuser W. // Top. Curr. Phys. 1986. N 40. P. 249—295.
- [5] Купчишин А. И. и др. // Физика атомного ядра и космических лучей. Алма-Ата, 1977. С. 109—117.
- [6] Brandt W. // Appl. Phys. 1974. V. 5. N 1. P. 1—23.
- [7] Корбетт Дж., Бургуэн Ж. // Точечные дефекты в твердых телах. М., 1979. С. 9—162.
- [8] Емцев В. В., Машовец Т. В. Примеси и точечные дефекты в полупроводниках. М., 1981. 248 с.
- [9] Pankratz J. M. et al. // J. Appl. Phys. 1968. V. 39. N 1. P. 101—106.
- [10] Shulman M. A. et al. // Appl. Phys. 1975. V. 5. N 2. P. 367—371.
- [11] Mills A. P., Pfeiffer L. // Phys. Rev. Lett. 1976. V. 36. N 23. P. 1389—1393.
- [12] Cheng L. J. et al. // Phys. Rev. 1973. V. B8. N 6. P. 2880—2886.
- [13] Пустовойт А. К. и др. // Препринт ЛИЯФ АН СССР. Л., 1982. № 738.
- [14] Винецкий В. Л., Холодарь Г. А. Радиационная физика полупроводников. Киев, 1979. 335 с.
- [15] Арутюнов Н. Ю. и др. // ФТП. 1986. Т. 20. В. 3. С. 552—555.
- [16] Cheng L. J., Lory J. // Phys. Rev. 1968. V. 171. N 3. P. 856—862.

Ленинградский институт ядерной физики  
им. Б. П. Константинова  
АН СССР

Получена 18.07.1988  
Принята к печати 19.09.1988